

## Редактирование статьи

he\_projectile Никогда не публиковалось

# Ещё один PID-контроллер.Теория

В сегодняшней статье расскажу, как на стенде измеряется угол, чем обеспечивается защита от дурака, и как мне помог ChatGPT.

Итак, рабочая часть стенда представляет собой луч: неуравновешенную балку с мотором и датчиком. Когда луч находится в исходном состоянии — висит вертикально вниз. Тяга пропеллера создаёт момент силы, вращающий луч против часовой стрелки. Примем это направление за положительное, ограниченное углом  $170^\circ$ . В этом диапазоне сила тяжести всегда вращает луч в отрицательном направлении.

## Измерение угла

Первостепенная задача — измерение угла отклонения луча от исходной позиции. Затем нужно проверить, что луч вращается в вертикальной плоскости для предотвращения включения стенда в неправильном положении или выключения мотора при заваливании. Первую задачу можно решить при помощи энкодера на оси, а вторую — административно. Но у квадрокоптера нет энкодеров, а аварийные ситуации случаются произвольно. Поэтому буду использовать инерциальный датчик MPU6050 в модуле GY-521.

В [одной из статей](#) я описал способ определения ориентации инерциального датчика.

Ориентация представляется в виде матрицы  $3 \times 3$ , в которой столбцы соответствуют осям датчика, а строки — проекциям на север, запад и вертикаль.

Казалось бы, достаточно прикрепить датчик к балке, посмотреть направление оси  $\vec{z}$ , запомнить направление  $\vec{y}$ , после поворота посчитать угол между прежним и текущим направлением. Но такой вариант доступен только при полной уверенности в том, что ось датчика  $\vec{z}$  параллельна оси луча, а я не стану гарантировать это.

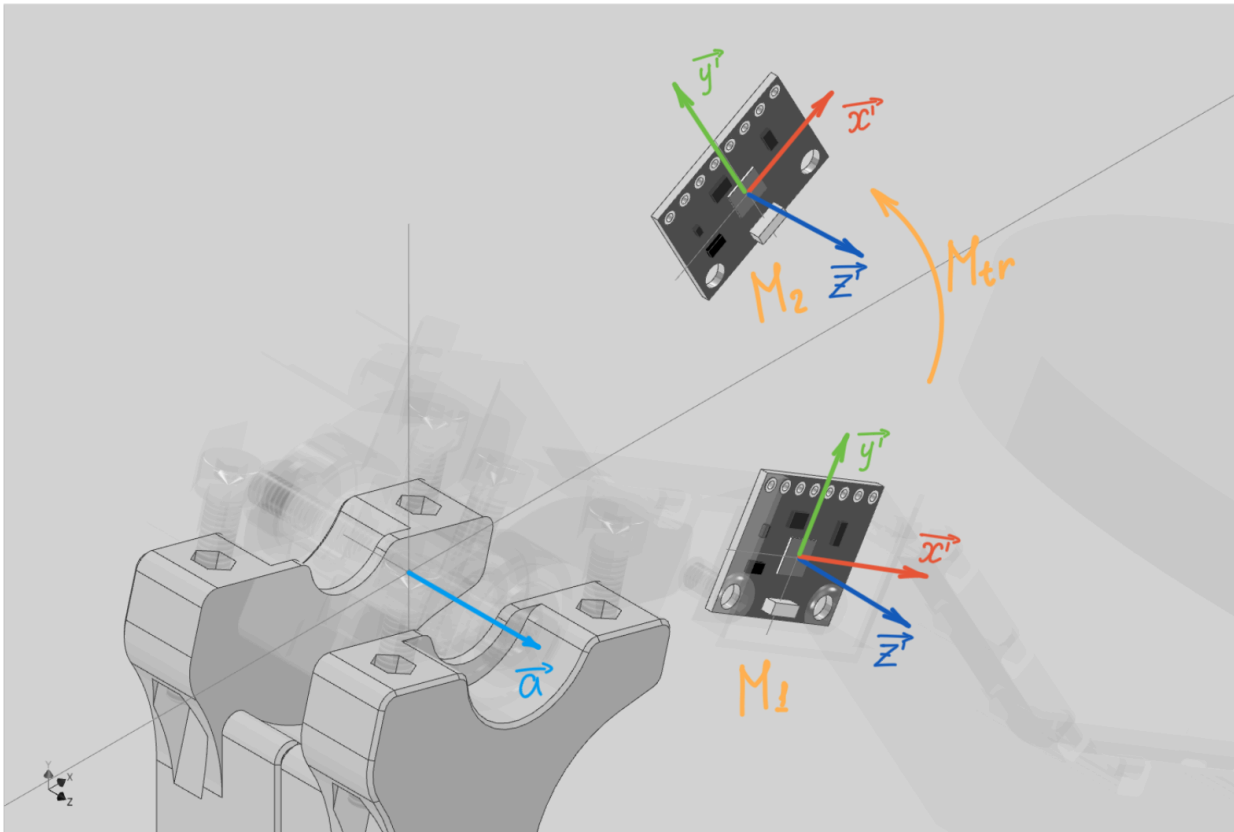


Рисунок 1. Поворот датчика вокруг оси

Поэтому надо обобщить обе операции для случайного закрепления датчика. Как и раньше, алгоритм прототипируется в матлабе. МК обрабатывает данные датчика, вычисляет матрицу и отправляет её компьютеру по USB-CDC в виде массива из 9 байт. При запуске стенда луч неподвижен. Программа запоминает изначальную ориентацию датчика ( $M_1$ ). Матрица вращается вокруг вектора  $\vec{a}$ , и получается матрица  $M_2$ . Этот вектор и является осью вращения, надо вычислить его. Что мы знаем об  $\vec{a}$ ? Его проекции на  $M_1$  и  $M_2$  одинаковы, при этом матрицы связаны матрицей перехода:

$$M_{tr} = M_2 \cdot M_1^{-1} \quad (1)$$

То есть, при применении к  $\vec{a}$  линейного оператора  $M_{tr}$  снова выходит  $\vec{a}$ . Получается, что  $\vec{a}$  является собственным вектором для матрицы перехода. Так как размерность матрицы 3, то и собственных векторов тоже 3. Как выбрать нужный? Сперва надо посчитать собственные числа  $M_{tr}$ . Собственное число - это скаляр, который растягивает собственный вектор. При повороте не происходит растяжения вектора-оси, или же происходит растяжение с коэффициентом 1. Значит, нужно выбрать вектор, для которого  $\lambda = 1$ .

У этого решения есть несколько нюансов. Во-первых, погрешности измерений, расчётов и неровность механики приводят к тому, что  $M_{tr}$  не в полной мере является ортогональной матрицей, и  $\lambda \neq 1$ . Поэтому приходится выбирать число, наиболее близкое к 1. Во-вторых, вычисление собственных чисел матрицы — трудоёмкая задача как для МК, так и для программиста.

Прежде чем кинуться в написание сишных функций, я обратился за советом к ChatGPT и не пожалел.

Совет 1. Транспонировать матрицу вместо вычисления обратной. Для ортогональной матрицы, к которой относится моя матрица ориентации,  $M^{-1} = M^T$ . Транспонировать матрицу проще, и это снизит нагрузку на работу МК.

Совет 2. Использовать след матрицы поворота для вычисления угла.

$$tr(M_{tr}) = M_{tr(11)} + M_{tr(22)} + M_{tr(33)} = 1 + 2\cos(\psi) \quad (2)$$

$$\psi = \arccos\left(\frac{tr(M_{tr}) - 1}{2}\right), \quad (3)$$

где  $\psi$  - угол поворота матрицы поворота.

Из-за погрешностей измерений и вычислений значение  $tr(M_{tr})$  может выходить за границы  $[-1; 1]$ , что вызовет ошибку вычисления арккосинуса, поэтому необходимо проверять это условие и обрезать лишнее. Кто-то скажет, что это замечание проблемы под ковёр, и я соглашусь. Но так как в МК сложно реализовать перехват исключений, то я решил проверять ортогональность и матрицы ориентации отдельно.

Данный метод возвращает  $\theta$  при  $0 \leq \theta < \pi$  и  $2\pi - \theta$  при  $\pi \leq \theta < 2\pi$ , однако это не проблема для моего стенда, так как отклонение луча ограничено.

Совет 3. Извлекать ось вращения из антисимметричной части матрицы поворота.

$$\vec{a} = \frac{1}{2\sin(\psi)} \cdot \begin{bmatrix} M_{tr(32)} - M_{tr(23)} \\ M_{tr(13)} - M_{tr(31)} \\ M_{tr(21)} - M_{tr(12)} \end{bmatrix} \quad (4)$$

Таким образом, вычисления угла и оси стали быстрыми и непринуждёнными. При запуске стенда необходимо перевести луч из нижнего положения в положение повыше. Из полученных данных будет вычислен вектор оси. Угол между осью и вертикалью

должен иметь значение, близкое к  $\pi/2$ . Сильное отклонение приведёт к переходу стенда в аварийное состояние и отключению мотора до перезапуска программы.

## Расчёт параметров модели

Прежде чем угробить стенд жёсткими режимами работы, хотелось бы поиграть в математическое моделирование. Может быть, я получу полезный практический опыт или даже готовые коэффициенты PID. Для этого составлю уравнение динамики стенда, напишу PID-регулятор для управления тягой, абстрагируюсь от задержки измерения угла и изменения тяги, инерции пропеллера.С

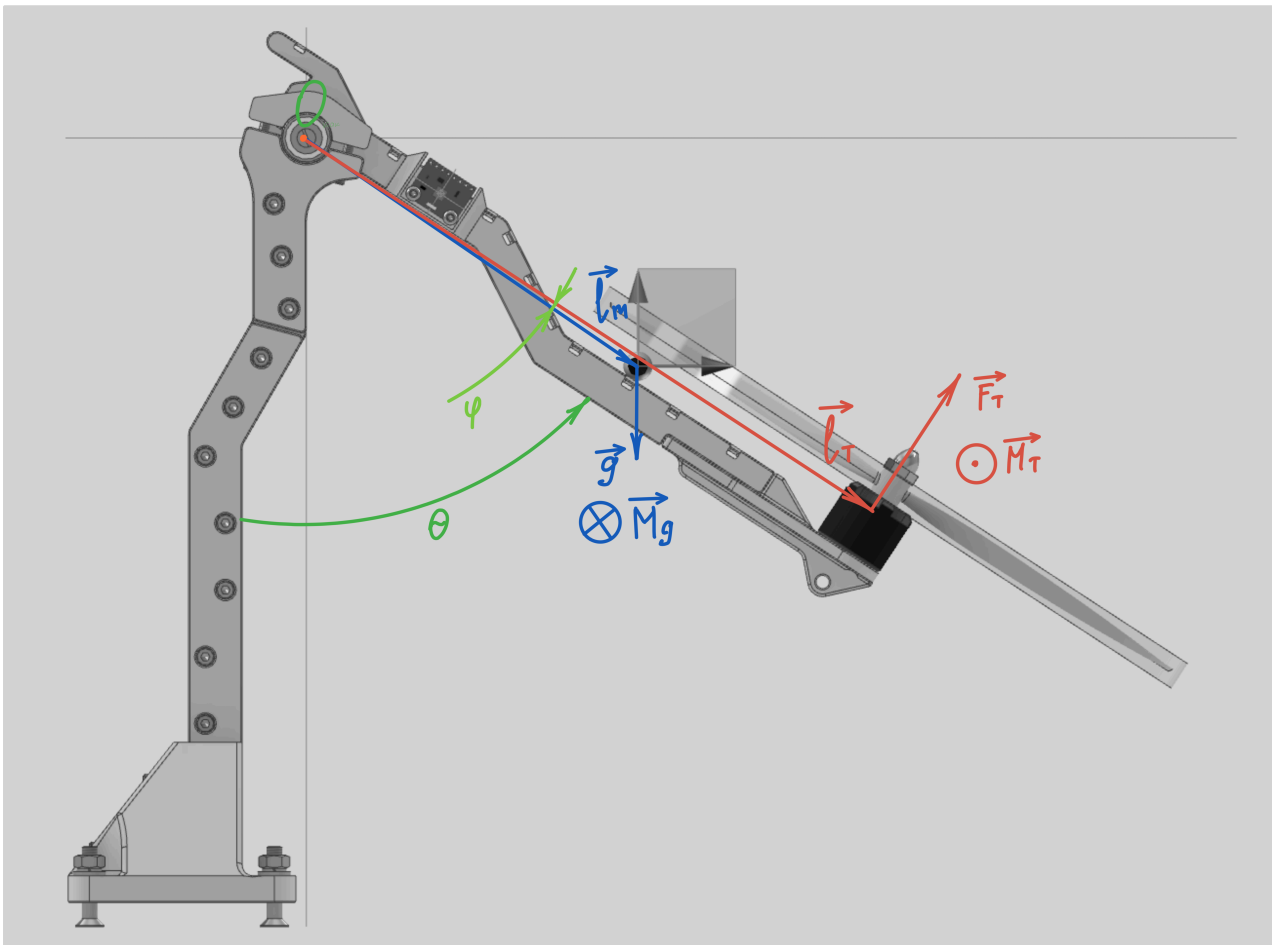


Рисунок 2. Схема действующих сил

Сила тяжести, действующая на луч и приложенная к центру масс луча, создаёт момент, равный

$$\begin{aligned}\vec{M}_g &= \vec{l}_g \times m \vec{g} \\ \text{или} \\ M_g &= m \cdot g \cdot l_g \cdot \sin(\theta - \varphi),\end{aligned}\quad (5)$$

где  $m$  — масса луча,  $l_g$  — расстояние от оси О до центра масс луча,  $\theta$  — угол отклонения луча,  $\varphi$  — угол между лучом и вектором до центра масс.

Так как отклонение луча ограничено механически  $170^\circ$ , направление момента не меняется.

Уравнение статики для этой системы выглядит так:

$$\begin{aligned} \vec{M}_g + \vec{M}_t &= 0 \\ \text{или} \\ 0 &= F_T \cdot l_T - m \cdot g \cdot l_m \cdot \sin(\theta - \varphi), \end{aligned} \quad (6)$$

где  $l_T$  — расстояние между осью луча и осью пропеллера,  $F_T$  — сила тяги пропеллера.

При дисбалансе сил возникает угловое ускорение:

$$\ddot{\theta} = \frac{F_T \cdot l_T - m \cdot g \cdot l_m \cdot \sin(\theta - \varphi)}{J}, \quad (7)$$

где  $J$  - момент инерции луча.

Необходимо добавить сопротивления среды. К ним можно отнести силу трения покоя в подшипнике, силу сухого трения подшипника, силу вязкого сопротивления смазки и силу сопротивления воздуха. Силу сухого трения и трения покоя я исключу, так как хорошо смазал подшипники. Включим оставшиеся силы и получим уравнение динамики системы:

$$\ddot{\theta} = \frac{F_T \cdot l_T - m \cdot g \cdot l_m \cdot \sin(\theta - \varphi) - k_v \dot{\theta} - k_a \dot{\theta}^2 \cdot \text{sign}(\dot{\theta})}{J}, \quad (8)$$

где  $k_v$  - коэффициент вязкого сопротивления смазки,  $k_a$  - коэффициент сопротивления воздуха.

Момент инерции и расстояние до центра масс вычислены в САПРе. Для этого я взвесил каждую деталь и прописал массу в физические свойства модели. Несмотря на то, что равномерность распределения массы по объёму является большим допущением для деталей, напечатанных на FDM-принтере, результат оказался впечатляюще удовлетворительным.

$k_v$  и  $k_a$  - эмпирические коэффициенты. Я получил их значения экспериментально.

Для этого закрепил мачту горизонтально, отвёл луч на произвольные  $39^\circ$ , отпустил и позволил ему свободно колебаться под действием силы тяжести и получил функцию затухающих колебаний в табличном виде  $\theta_{exp}(t)$ . При этом дифференциальное уравнение обретает вид:

$$\begin{cases} \ddot{\theta} = \frac{-m \cdot g \cdot l_m \cdot \sin(\theta - \varphi) - k_v \dot{\theta} - k_a \dot{\theta}^2 \cdot \text{sign}(\dot{\theta})}{J} \\ \theta(0) = -39^\circ \\ \dot{\theta} = 0 \end{cases} \quad (9)$$

Затем написал MATLAB-скрипт, численно решающий приведённое уравнение с такими же начальными условиями, как у  $\theta_{exp}(t)$ . Обозначу вычисленные данные как  $\theta_{sim}(t)$ . Оба графика представлены на рисунке 3.

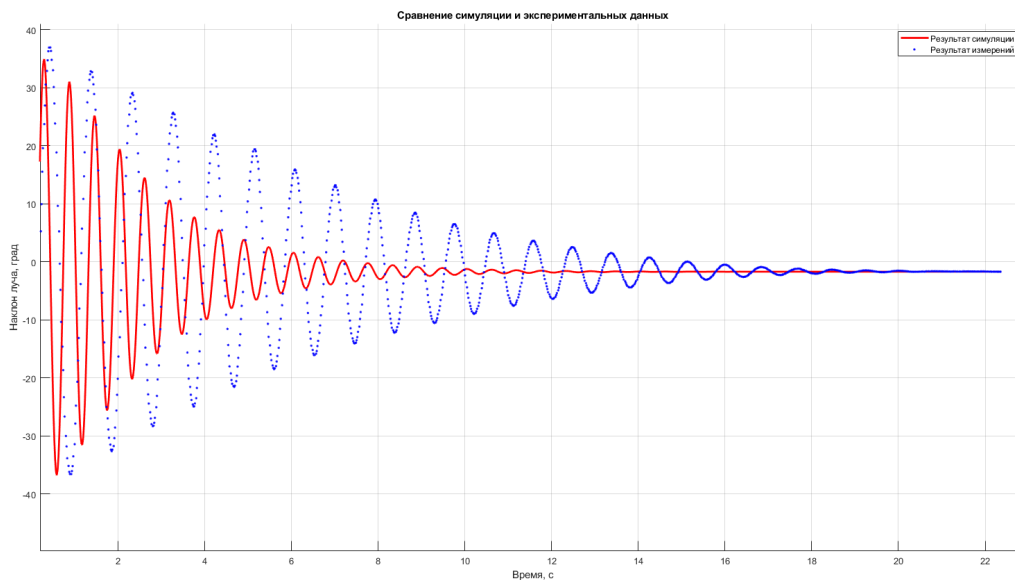


Рисунок 3. Это фиаско

Как можно увидеть, частоты значительно различаются, примерно в два раза. Она зависит от параметров  $l_m$  и  $J$ . Подбрав ручками  $J$ , я понял, что увеличение его вдвое исправляет проблему. После проверки масс всех деталей, я вспомнил, что САПР указывает момент инерции относительно центра масс. Чтобы пересчитать значения  $J$  для вращения вокруг  $O$ , нужно применить теорему Гюйгенса-Штейнера:

$$J = J_C + m \cdot l_m^2, \quad (10)$$

где  $J_C$  - момент инерции, рассчитанный САПРом.

Отклонение частоты уменьшилось до 3%, что видно на рисунке 4.

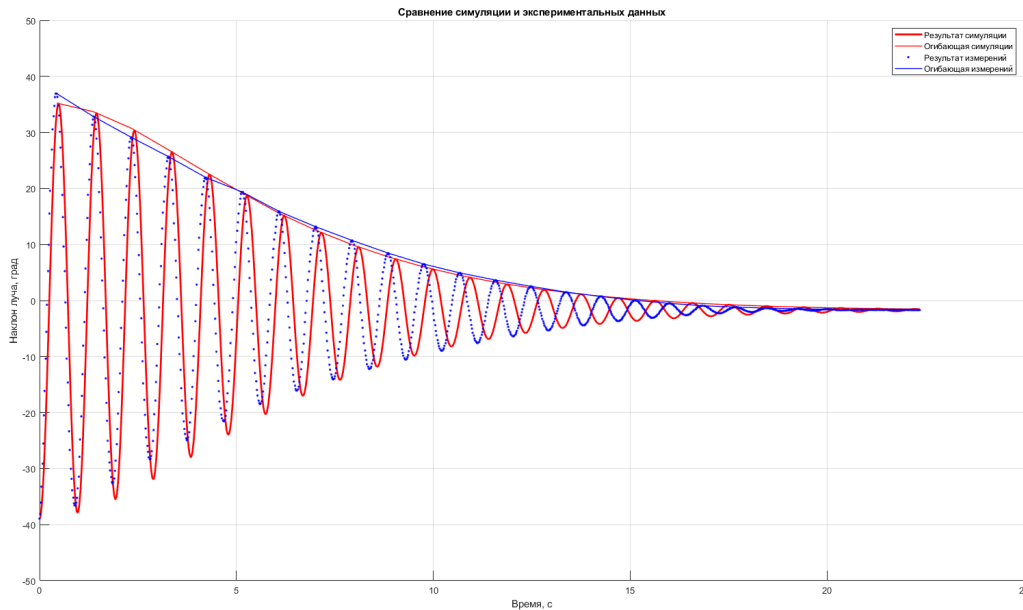


Рисунок 4. Графики отлично накладываются

Теперь можно подобрать  $k_v$  и  $k_a$ . Так как диффур исчерпывающий, можно надеяться, что при правильном выборе  $k_v$  и  $k_a$  графики совпадут. Хорошо бы сделать подбор автоматическим и оптимальным по времени. Сперва нужно выбрать критерий совпадения графиков. Сумма квадратов невязок отлично подходит на роль меры.

$$RSS(k_v, k_a) = \sum_{i=0}^N (\theta_{sim}(t_i, k_v, k_a) - \theta_{exp}(t_i))^2 \quad (11)$$

Но вот незадача. Временные метки у  $\theta_{exp}(t)$  и  $\theta_{sim}(t)$  различаются, выбирать пары значений  $\theta$  с одинаковым аргументом не получится. К тому же, частоты незначительно различаются, на шестнадцатом периоде колебания сдвинуты на  $\pi/2$ , поэтому RSS будет меняться хаотично при переборе коэффициентов.

Однако известно, что  $k_v$  и  $k_a$  характеризуют форму огибающей и практически не влияют на период колебаний. Значит, достаточно сравнивать огибающие этих графиков. Для этого из  $\theta_{exp}(t)$  и  $\theta_{sim}(t)$  выделяются пики, обозначенные  $\gamma_{exp}(t)$  и  $\gamma_{sim}(t)$ . Затем надо интерполировать  $\gamma_{sim}(t)$  сплайном, подставить временные метки из  $\theta_{exp}(t)$  и получить соответствующие значения  $\gamma_{simInt}(t)$ . Теперь можно сравнить огибающие. Таким образом, вычисление  $k_v$  и  $k_a$  сводится к минимизации функции RSS:

$$RSS(k_v, k_a) = \sum_{i=0}^N (\gamma_{simInt}(t_i, k_v, k_a) - \gamma_{exp}(t_i))^2 \rightarrow \min_{k_a, k_v \in R^2} \quad (12)$$

Я воспользовался готовой функцией `fmincon` из пакета Optimization Toolbox. С начальным приближением  $k_v = 0, k_a = 0$  решение заняло 16 итераций. Результат можно видеть на рисунке 4, а полученные значения в таблице ниже.

$J$	кг · м <sup>2</sup>	5,52e-3
$m$	кг	0,181
$l_m$	м	0,139
$\psi$	град	1,71
$k_v$	попугаи	1,85e-3
$k_a$	попугаи	1,06e-3

## Симуляция PID-регулятора

Наконец, можно приступить к моделированию PID-регулятора. Ограничу задачу достижением и поддержанием угла луча, но в будущем попробую также регулировать скорость вращения луча.

Итак, формула PID-регулятора:

$$\begin{cases} u(t) = K_P \cdot e_{rr}(t) + K_I \cdot \int_0^t e_{rr}(\tau) d\tau - K_D \cdot \frac{de_{rr}(t)}{dt}, \\ e_{rr}(t) = \theta_{set} - \theta(t) \end{cases}, \quad (13)$$

где  $\theta_{set}$  - установочное значение, к которому стремится  $\theta(t)$ ,  $e_{rr}(t)$  - ошибка регулирования,  $u(t)$  - управляющее воздействие, стремящееся уменьшить ошибку.

$K_P, K_I, K_D$  - коэффициенты при пропорциональной, интегральной и дифференциальной составляющих регулятора соответственно.

Значения коэффициентов и определяют работу регулятора, их и предстоит подобрать. Сперва необходимо врезать в диффур PID-регулятор.



$$\begin{cases} \ddot{\theta}(t) = \frac{F_{max} \cdot u(t) \cdot l_T - m \cdot g \cdot l_m \cdot \sin(\theta(t) - \varphi) - k_v \dot{\theta}(t) - k_a \dot{\theta}^2(t) \cdot \text{sign}(\dot{\theta}(t))}{J} \\ u(t) \in [0, 1] \\ \dot{\theta}(0) = 0 \\ \theta(0) = \theta_0 \end{cases}, \quad (14)$$

где  $F_{max}$  - максимальная тяга, которую может выдать мотор.  $\theta_0$  - начальный угол.

Регулятор управляет тягой, которая может быть только положительной и имеет ограничение сверху. Поэтому удобно ограничить также управляющий параметр  $u(t) = [0; 1]$ . Для решения диффура необходимо принять начальные условия  $\dot{\theta}(0)$  и  $\theta(0)$ . Регулятор начинает работу при неподвижном опущенном луче, поэтому они равны нулю.

Это дифференциальное уравнение не решается аналитически. Хорошо, что MATLAB может решить его численно. Скрипт выглядит так:

```
1 % Параметры
2 l_m = norm([138.760 -4.145])/1000*1; % Расстояние до центра масс, м
3 m = 0.181; % Масса, кг
4 psi = atan2(-4.145, 138.760); % Угол между балкой и вектором до центра масс, рад
5 J = 2036.662 / 10^6 + m * l_m^2; % Момент инерции, кг*м^2
6 g = 9.81; % м/с^2
7 kv = 0.0001850; % Сопротивление смазки, попугаи
8 ka = 0.0001058; % Сопротивление воздуха, попугаи
9 l_T = 0.254; % Плечо пропеллера, м
10 F_T = 10; % Максимальная тяга пропеллера, Н
11 alpha = deg2rad(90); % Цель
12
13 % Начальные условия
14 theta0 = deg2rad(0); % Начальный угол
15 omega0 = 0; % Начальная угловая скорость
16 integral0 = 0;
17 Y0 = [theta0; omega0; integral0];
18
19 % Время моделирования
20 tspan = [0 10];
21
22 % Решение диффура
23 [t, Y] = ode45(@(t, Y) pendulumODE(t, Y, l_m, m, g, J, psi, kv, ka, F_T, l_T, alpha, Y0));
24
25 % Графики
26 figure(1); % Создаю график с номером 1 / Обращаюсь к графику 1
27 clf(fgure(1)) % Чищу график 1
28
29 plot(t, rad2deg(Y(:,1)), 'r', 'LineWidth', 1.5);
```

```

30 xlabel('Время, с');
31 ylabel('Наклон луча, град');
32 title('Динамика угла');
33 ylim([0 120])
34 grid on;
35
36 yline(rad2deg(alpha))
37
38 function dYdt = pendulumODE(t, Y, l, m, g, J, psi, kv, ka, F_T, l_T, alpha, Kp,
39     if Y(1) >= 0.99*pi
40         Y(2) = 0;
41         Y(1) = 0.99*pi;
42     end
43     O = Y(1);           % Угол O
44     omega = Y(2);       % Угловая скорость dO/dt
45     e = (alpha-O);
46
47     d_integral=e;
48
49     if Y(3)>10
50         Y(3) = 10;
51     end
52     if Y(3)<-10
53         Y(3) = -10;
54     end
55     integral = Y(3);
56
57     U = Kp*e+Ki*integral-Kd*omega+Ks*sin(alpha);
58
59     if U>1
60         U = 1;
61     end
62     if U < 0.001
63         U = 0.001;
64     end
65     F = F_T*U;
66
67     domegadt = (F*l_T-m*g*l*sin(O-psi)-kv*omega*t-ka*omega^2*sign(omega)*t)/J;
68
69     dYdt = [omega; domegadt; d_integral]; % Возвращаем вектор производных
70 end

```

Функция ode45 (строка 23) решает диффуры итерациями, поэтому на каждом шаге можно выполнять математические операции над переменными, сравнивать и менять их значения. Это позволяет встроить в диффуры различные проверки. Например, на строках 59-64 реализовано ограничение управляющего параметра.

Пора перейти к подбору коэффициентов. Для этого надо выбрать критерии качества процесса регулирования. Их много, но меня интересуют следующие три:

- Время переходного процесса ( $T_{пп}$ ). Это время, за которое регулируемое значение входит в полосу шириной  $2\Delta$  и больше не выходит из неё. Желаемое значение - 0.
- Перерегулирование ( $\frac{\theta_{max} - \theta_{33}}{\theta_{33}}$ ). Желаемое значение - 0.
- Ошибка регулирования ( $\frac{\theta_{\infty} - \theta_{33}}{\theta_{33}}$ ). Желаемое значение - 0.

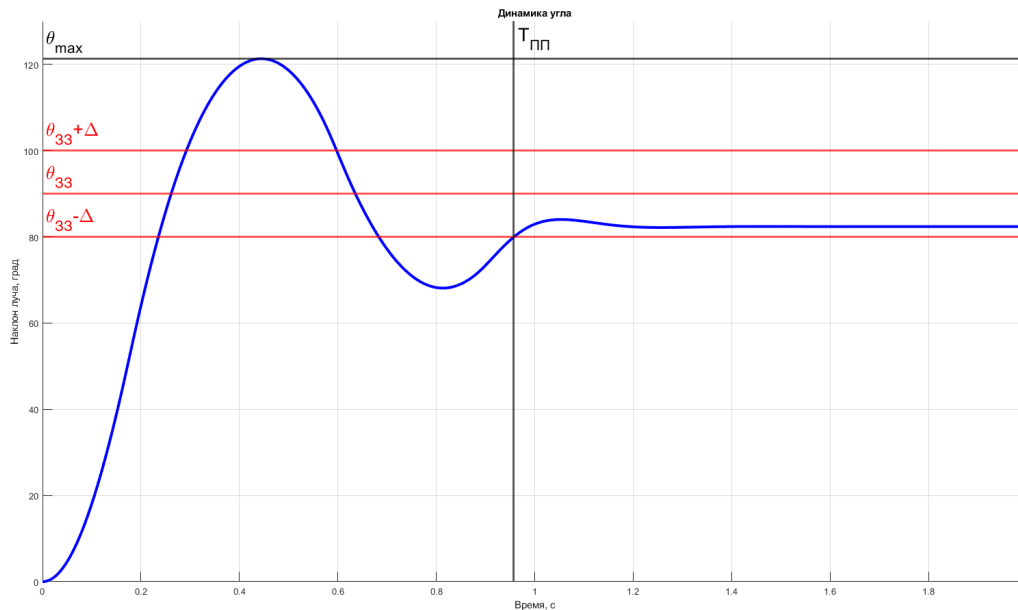


Рисунок 5. Основные критерии качества процесса регулирования

Необходимо подобрать коэффициенты регулятора так, чтобы все три параметра были минимальны. Это непростая задача, ведь добиться идеального переходного процесса нереально. А значит, мне придётся подумать и отдать приоритет одним характеристикам, установив ограничения для других. Но я не знаю, как сравнивать величины, имеющие разные размерности, так почему бы не воспользоваться хорошим методом дважды. Я буду минимизировать отличие моего переходного процесса от идеального.

Идеальный переходный процесс представляет собой ступенчатую функцию:

$$\theta_{ideal}(t) = \begin{cases} 0, & t < 0 \\ \theta_{33}, & t \geq 0 \end{cases}$$

Регулирование начинается при  $t=0$ , значит меня интересует только  $\theta_{ideal} = \theta_{33}$ . Тогда функция меры приобретает следующий вид:



$$err(P, I, D) = \int_0^{\infty} |\theta_{ideal}(t) - \theta(t, P, I, D)| dt,$$

где  $\theta(t)$  - результат симуляции, P, I, D - коэффициенты PID-регулятора. Это называется интегральной оценкой качества переходного процесса.

Таким образом, минимизируя  $err(P, I, D)$ , можно получить приемлемый результат, который будет протестирован в следующей части.

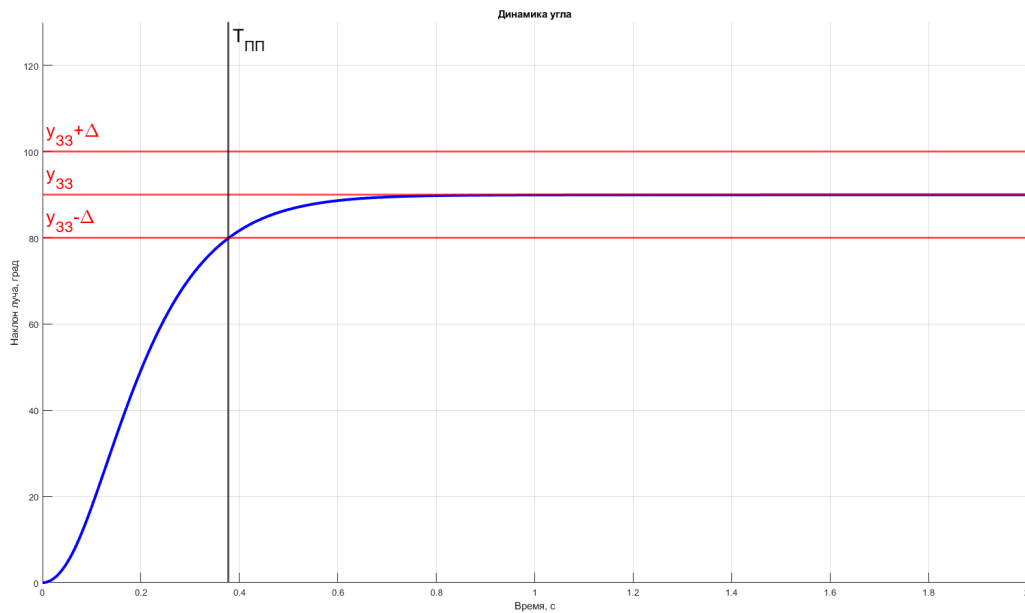


Рисунок 6. Приемлемый процесс регулирования

Нажмите "/" для вызова меню

[Далее к настройкам](#)

## ХАБР ИЩЕТ АВТОРОВ

Мы ищем авторов в контент-студию — помогать компаниям делать крутые статьи для техноблогов и мегапроекты.

Хотите писать не только на Хабр, но и для Хабра? [Давайте познакомимся!](#)

## О РЕДАКТОРЕ

Редактор публикаций может работать в режимах WYSIWYG и Markdown.

Переключение осуществляется с помощью иконки в правом верхнем углу.

Подробнее о работе редактора можно узнать в [этом](#) разделе.

#### ПАМЯТКА АВТОРУ



Соблюдайте [правила сайта](#)



Следуйте [советам](#) и заботливо оформляйте публикации



Используйте хаб [«Я пиарюсь»](#) для рекламных публикаций



Загружайте картинки меньше 8МБ для тела публикации и меньше 1МБ для обложки публикации

#### Ваш аккаунт

Профиль

Трекер

Диалоги

Настройки

ППА

#### Разделы

Статьи

Новости

Хабы

Компании

Авторы

Песочница

#### Информация

Устройство сайта

Для авторов

Для компаний

Документы

Соглашение

Конфиденциальность

#### Услуги

Корпоративный блог

Медийная реклама

Нативные проекты

Образовательные

программы

Стартапам



Настройка языка

Техническая поддержка

